

II-233 幅の狭い断面を有する開水路の分散係数

大阪府立 大阪府立 正会員 三条 健二
 長岡技術科学大学工学部 正会員 早川 兴生
 長岡技術科学大学工学部 正会員 横嶋 祐介

1.はじめに

開水路流れの混合特性を明らかにするため、従来より数多くの分散実験がおこなわれている。しかし、従来の研究は河川を対象として幅の広い水路に限られている。本研究は、人工用水路など水路幅Bと水深Hの比、B/H(形狀化と呼ぶ)が1程度の開水路流の混合現象に着目し、分散係数を求めることを目的とした。理論解析として、自然水路をよく近似すると思われる半構円断面水路を考え、曲線座標を用いて分散係数を求めた。また、長方形断面水路を行い、形狀化4~0.5の範囲で実験をおこない、分散係数と形狀化の関係を明らかにした。

2.半構円断面水路の分散係数

物質の分散を支配するのは、断面内の速度偏差と濃度偏差である。図-1に示すような等速流線(θ軸)とそれに直交する曲線(φ軸)からなる直交曲線座標を考える。速度の勾配はφ軸に沿って最大であり、物質はφ軸方向にもっとも大きく引き伸ばされ広がっていく。今、断面内に2次流はないものとし、乱流拡散方程式をTaylorの仮定のもとに変形すると次式を得る。

$$U'' \frac{\partial C}{\partial X} = \frac{1}{R_5 R_8} \left[\frac{\partial}{\partial \xi} \frac{R_8}{R_5} K_5 \frac{\partial C'}{\partial \xi} + \frac{\partial}{\partial \theta} \frac{R_8}{R_5} K_8 \frac{\partial C'}{\partial \theta} \right] \quad (1)$$

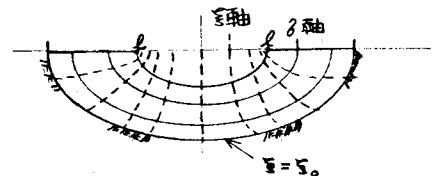


図 - 1

ここに、 U'' : 流速の断面偏差、 \bar{C} : 濃度の断面平均値、 X : 流下方向軸、 R_5 、 R_8 : 曲線座標の線素、 K_5 、 K_8 : ξ 、 θ 軸方向の乱流分散係数、 C' : 濃度の断面偏差である。 \bar{C} は、 ξ 軸に沿って流速が対数則分布すると次式でおさわせられる。

$$U'' = \frac{U_n}{K} \left[\ln \left(\frac{\xi}{\xi_0} \right) - \bar{C} \right] \quad (2)$$

ここに、 \bar{C} は断面平均流速である。 θ 軸に沿っては物質の広がりは小さいので、 θ で積分すると次式を得る。

$$\int_0^{\pi} U'' \frac{\partial C}{\partial X} R_5 R_8 d\theta = \frac{\partial}{\partial \xi} \int_0^{\pi} K_8 \frac{\partial C'}{\partial \xi} \frac{R_8}{R_5} d\theta \quad (3)$$

これらに、 ξ で2回積分すると、断面内の速度偏差 C' は重みの付いた関数として次式で求まる。

$$C'' = \frac{\partial \bar{C}}{\partial X} \frac{L^2}{2} \frac{U_n}{K} \int_{\xi_0}^{\xi_0} \int_{\xi_0}^{\xi} \left\{ \ln \left(\frac{\xi_0 - \xi}{\xi} \right) - \bar{C} \right\} d\xi d\xi \quad (4)$$

ここで、 L は構円断面の焦耳距離。また、

$$C'' = \frac{2}{\pi} \int_0^{\pi/2} C' d\theta \quad (5)$$

である。分散係数Dは、その定義より次式であらわせる。

$$D = - \frac{2}{A} \frac{\partial \bar{C}}{\partial X} \int_0^{\xi_0} \int_{\xi_0}^{\xi} U'' C'' R_5 R_8 d\theta d\xi \quad (6)$$

ここで、 $\frac{1}{2}$ は半橋円断面水路の壁面であり、形状比 Ar を用いて次式でおらわせる。

$$\frac{1}{2} = \frac{1}{2} \ln \frac{Ar+1}{Ar-1}$$

今、互方向へ乱流拡散係数 K_x を定数と考え、(6)式に(4)式(2)式を代入し整理すると分散係数として次式が得られる。

$$D = - \frac{\ell^2 U_*^2}{K_x \cdot R^2 \cdot \sinh^2 \frac{\pi}{R}} \int_0^R \left[\int_{\frac{\pi}{R}}^{\frac{\pi}{2}} \left\{ \ln \left(\frac{\pi - \theta}{\theta} \right) - \bar{U} \right\} d\theta \right] \times \left[\ln \left(\frac{\pi - \theta}{\theta} \right) - \bar{U} \right] \cosh \frac{\pi \theta}{R} dR$$

$K_x = \frac{1}{6} R R U_*$ でおらわせるとし、(8)式を微分積分することにより分散係数を求めることができる。

3. 形状比の小さな水路における分散係数を求める実験

実験は、幅10cm、長さ10.8mの可変勾配水路であった。トレーサーは、10% NaCl溶液をメチルアルコールで比重1.0に調整したもの用いた。水路上流域0.1mに瞬間的なトレーサー投入をおこなう目的で容積50ccの容器を設け、下流域7.5m, 8.5m, 9.5mの水路断面中央に導電率計センサーを固定し、濃度の時間的変化を測定した。再現性のある3回の測定値を平均した結果を用いて、fitting法による分散係数を求めた。実験は、形状比4, 3, 2, 1, 0.67, 0.5の6ケースについておこなった。水理諸元は表-1に示す通りである。表中、 Ar : 形状比、 U : 平均流速、 U_* : 断面平均摩擦速度 $U_* = \sqrt{g R I}$ 、 R : 管径； D : 分散係数である。

表-1

Ar	U	U_*	D/RU_*
4	18.8	1.61	14.6
3	19.3	1.55	15.2
2	20.0	1.51	14.1
1	20.9	1.44	13.7
0.67	18.9	1.41	11.5
0.5	19.7	1.39	10.8

4. 結果および考察

半橋円断面開水路の分散係数を経験式と摩擦速度ひずみ無次元化し、形状比との関係を求めたものが図-2である。無次元分散係数の理論値は、形状比2で最大となり Taylor の求めた円管の値に一致する。形状比0および無限大の極限では Elder の求めた2次元水路の値に漸近する。図-3は、今回の実験で得られた分散係数の実測値と半橋円断面水路での理論値を比較したものである。図中には、より大きな形状比でおこなわれた Fischer の測定結果もプロットしている。形状比2以下では、形状比が減少するに従って無次元分散係数は小さくなり、理論値とよく一致する。形状比が2より大きくなると無次元分散係数の実験値は次第に大きくなり、理論値はこれを説明できない。この原因は、形状比の増加とともに2次流れが存在し、物質の混合を促進するためと考えられる。

<参考文献>

Fischer, H.B., ASCE, Vol 93, HY4, pp 107~126, 1967

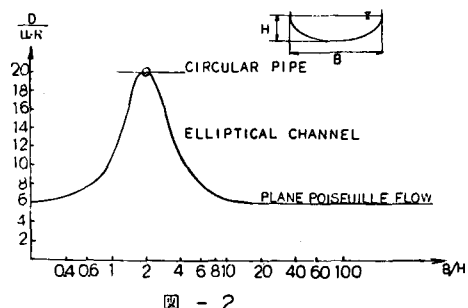


図-2

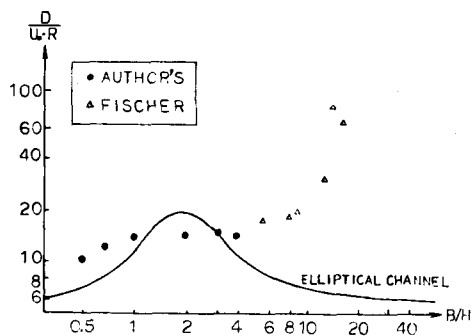


図-3